

开关电容网络 Z 域分析的回路电荷法

刘长林

(东北重型机械学院自动控制系 齐齐哈尔 161042)

摘要 本文导出了一般开关电容支路的 Z 域电荷耦合模型, 提出一种适用于多相开关电容网络 Z 域分析的回路电荷法。

关键词 开关电容网络 (SCN), 电荷耦合, 回路电荷法, Z 变换, 梅森流图

1 引言

开关电容网络的分析业已成熟。就 Z 域分析而言, 已有等效电路法^[1]、节点法^[2]、不定导纳矩阵法^[3]、回路法^[4]等, 但回路法研究的较少。本文在导出一般开关电容支路 Z 域电荷耦合模型的基础上, 给了一种开关电容网络 (SCN) Z 域分析的回路电荷法。此法直观、简捷。

2 开关电容支路的 Z 域电荷耦合模型

一般开关电容支路^[1-3]是受 N 相周期性、均匀或不均匀、非重叠的时钟脉冲控制的。

在第 k 相时钟脉冲控制期间, 电容电荷增量 Δq_{k+iN} 和电容电压 v_{k+iN} 关系为

$$\Delta q_{k+iN} = C v_{k+iN} - C v_{k+iN-1}, \quad k = 1, 2, \dots, N. \quad (1)$$

本文采用下面 Z 变换定义:

$$V^{(k)}(Z) \triangleq Z[v_{k+iN}] = \sum_{i=0}^{\infty} v_{k+iN} Z^{-i}. \quad (2)$$

对(1)式进行 Z 变换, 则得

$$\Delta Q^{(k)}(Z) = C V^{(k)}(Z) - C V^{(k-1)}(Z), \quad k = 1, 2, \dots, N, \quad (3)$$

其中 k=1 时, 有

$$\Delta Q^{(1)}(Z) = C V^{(1)}(Z) - C Z^{-1} V^{(N)}(Z). \quad (4)$$

若令

$$\begin{aligned} \Delta Q(Z) &= [\Delta Q^{(1)}(Z), \Delta Q^{(2)}(Z), \dots, \Delta Q^{(N)}(Z)]^T, \\ V(Z) &= [V^{(1)}(Z), V^{(2)}(Z), \dots, V^{(N)}(Z)]^T, \end{aligned}$$

则(3)式可写成下面的矩阵形式:

$$\Delta Q(Z) = Y_c V(Z), \quad (5)$$

其中

1992-10-07 收到, 1993-3-17 定稿

刘长林 男, 1936 年生, 副教授, 现从事电路理论的教学和研究工作; 开关电容网络分析和故障测试, 人工神经网络等方面亦有研究。

$$Y_c = \begin{bmatrix} C & 0 & \dots & 0 & -CZ^{-1} \\ -C & C & \dots & 0 & 0 \\ \vdots & \vdots & \ddots & \vdots & \vdots \\ 0 & 0 & \dots & -C & C \end{bmatrix}, \quad (6)$$

Y_c 称作开关电容支路的 Z 域导纳矩阵。

由矩阵 Y_c 求逆, 则(5)式可改写为

$$V(Z) = Y_c^{-1} \Delta Q(Z) = Z_c \Delta Q(Z), \quad (7)$$

$$Z_c = Y_c^{-1} = \frac{1}{C(1-Z^{-1})} \begin{bmatrix} 1 & Z^{-1} & \dots & Z^{-1} \\ 1 & 1 & \dots & Z^{-1} \\ \vdots & \vdots & \ddots & \vdots \\ 1 & 1 & \dots & 1 \end{bmatrix}$$

$$= \begin{bmatrix} Z_0 & Z_M^{(12)} & \dots & Z_M^{(1N)} \\ Z_M^{(21)} & Z_0 & \dots & Z_M^{(2N)} \\ \vdots & \vdots & \ddots & \vdots \\ Z_M^{(N1)} & Z_M^{(N2)} & \dots & Z_0 \end{bmatrix}. \quad (8)$$

Z_c 称作开关电容支路的 Z 域阻抗矩阵。

对于两相时钟控制的开关电容支路, 有

$$Z_c = \frac{1}{C(1-Z^{-1})} \begin{bmatrix} 1 & Z^{-1} \\ 1 & 1 \end{bmatrix} = \begin{bmatrix} Z_0 & Z_M^{(12)} \\ Z_M^{(21)} & Z_0 \end{bmatrix}. \quad (9)$$

对于三相时钟控制的开关电容支路, 有

$$Z_c = \frac{1}{C(1-Z^{-1})} \begin{bmatrix} 1 & Z^{-1} & Z^{-1} \\ 1 & 1 & Z^{-1} \\ 1 & 1 & 1 \end{bmatrix} = \begin{bmatrix} Z_0 & Z_M^{(12)} & Z_M^{(13)} \\ Z_M^{(21)} & Z_0 & Z_M^{(23)} \\ Z_M^{(31)} & Z_M^{(32)} & Z_0 \end{bmatrix}. \quad (10)$$

按(9)式和(10)式, 可画出两相和三相时钟控制的开关电容支路的 Z 域电荷耦合模型, 如图 1。

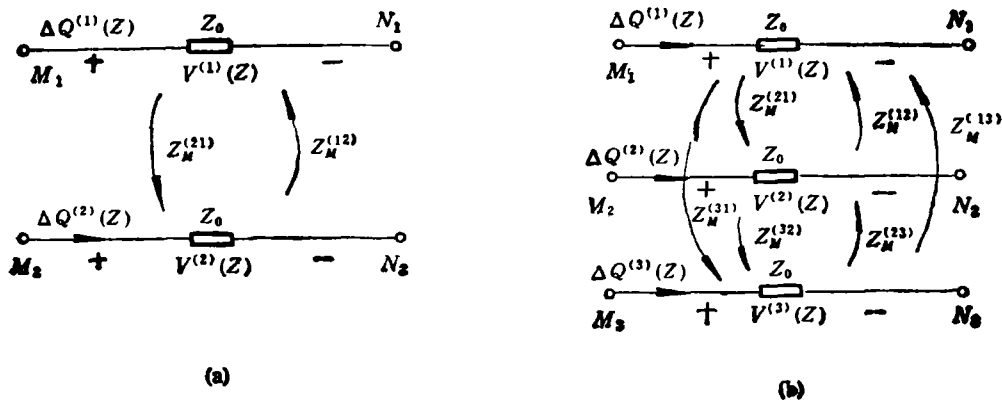


图 1 开关电容支路 Z 域电荷耦合模型

3 SCN Z 域分析的回路电荷法

SCN Z 域分析的回路电荷法就是依据开关电容支路的 Z 域电荷耦合模型, 把 SCN

画成 Z 域分相的电荷耦合等效模型, 以回路电荷为变量的分析方法。下面以示例说明具体步骤。为简单起见, 把 $\Delta Q(Z)$ 和 $V(Z)$ 简记作 Q 和 V 。

例 1 图 2(a) 是一两相无源 SCN, 求其电压传递函数。

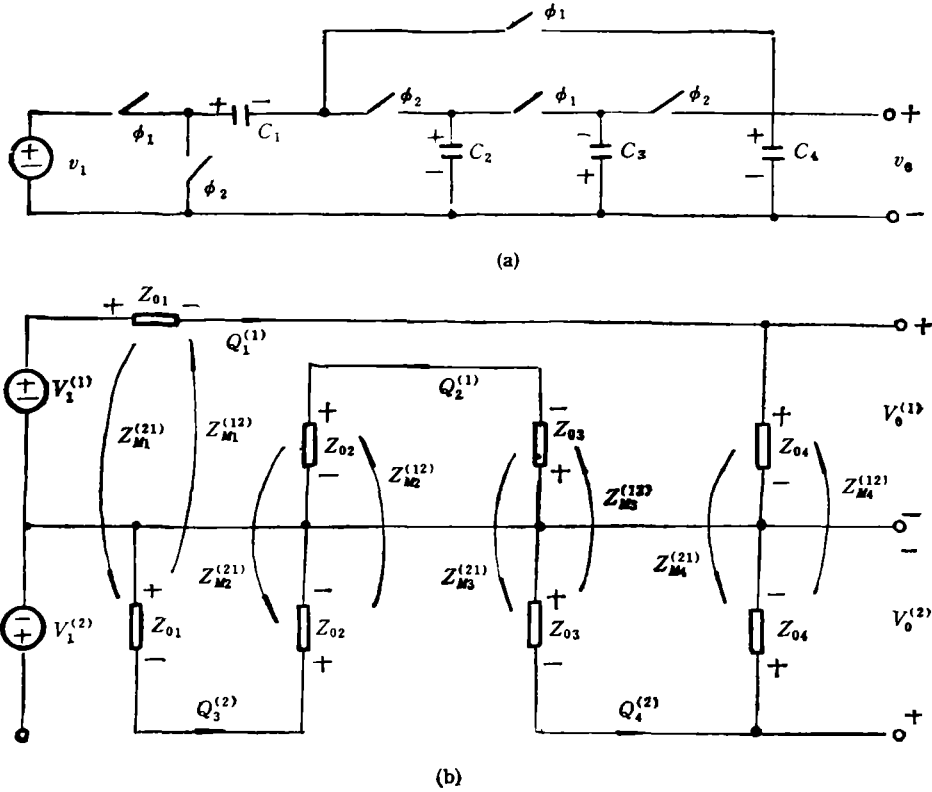


图 2 两相无源 SCN 及其 Z 域等效模型

解 (1) 在 SCN 中标出电容电压的极性, 画出其 Z 域分相电荷耦合等效模型, 如图 2(b) 所示。

(2) 在图 2(b) 中规定出回路电荷的参考方向, 列出其回路电荷方程和输出电压方程:

$$\left. \begin{aligned} (Z_{01} + Z_{04})Q_1^{(1)} + Z_{M1}^{(12)}Q_3^{(2)} + Z_{M3}^{(12)}Q_4^{(2)} &= v_1^{(1)}, \\ (Z_{02} + Z_{03})Q_2^{(1)} + Z_{M2}^{(12)}Q_3^{(2)} + Z_{M3}^{(12)}Q_4^{(2)} &= 0, \\ Z_{M1}^{(21)}Q_1^{(1)} + Z_{M2}^{(21)}Q_2^{(1)} + (Z_{01} + Z_{02})Q_3^{(2)} &= 0, \\ Z_{M4}^{(21)}Q_1^{(1)} + Z_{M3}^{(21)}Q_3^{(2)} + (Z_{03} + Z_{04})Q_4^{(2)} &= 0; \end{aligned} \right\} \quad (11)$$

$$\left. \begin{aligned} V_0^{(1)} &= Z_{04}Q_1^{(1)} + Z_{M4}^{(12)}Q_4^{(2)}, \\ V_0^{(2)} &= Z_{M4}^{(21)}Q_1^{(1)} + Z_{04}Q_4^{(2)}. \end{aligned} \right\} \quad (12)$$

(3) 按(11)和(12)式, 作出图 2(b) 的梅森流图, 如图 3 所示。

(4) 按图 3, 由梅森公式求出, 电压传递函数为

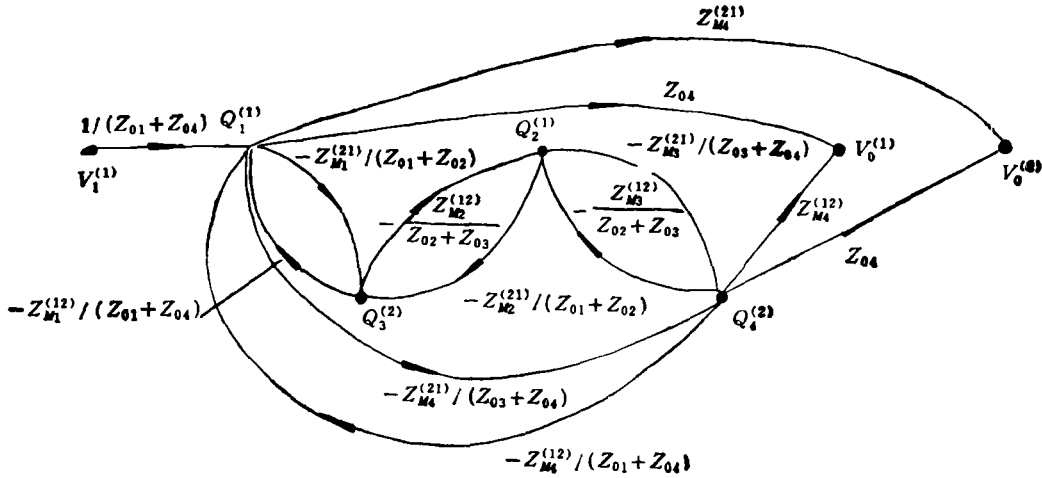


图 3 图 2(b) 的梅森流图

$$H^{(12)} = V_0^{(2)} / V_1^{(1)} = \Delta_1 / \Delta, \quad (13)$$

$$H^{(21)} = V_0^{(1)} / V_1^{(1)} = \Delta_2 / \Delta, \quad (14)$$

其中

$$\begin{aligned} \Delta = & \left(\frac{1}{C_1} + \frac{1}{C_2}\right)\left(\frac{1}{C_2} + \frac{1}{C_3}\right)\left(\frac{1}{C_3} + \frac{1}{C_4}\right)\left(\frac{1}{C_1} + \frac{1}{C_4}\right) - \left[\frac{1}{C_1^2}\left(\frac{1}{C_2} + \frac{1}{C_3}\right)\left(\frac{1}{C_3} + \frac{1}{C_4}\right)\right. \\ & + \frac{1}{C_2^2}\left(\frac{1}{C_3} + \frac{1}{C_4}\right)\left(\frac{1}{C_1} + \frac{1}{C_4}\right) + \frac{1}{C_3^2}\left(\frac{1}{C_1} + \frac{1}{C_2}\right)\left(\frac{1}{C_1} + \frac{1}{C_4}\right) \\ & \left. + \frac{1}{C_4^2}\left(\frac{1}{C_1} + \frac{1}{C_2}\right)\left(\frac{1}{C_2} + \frac{1}{C_3}\right)\right] Z^{-1} + \left(\frac{1}{C_1^2 C_3^2} + \frac{1}{C_2^2 C_4^2} - \frac{2}{C_1 C_2 C_3 C_4}\right) Z^{-2}, \quad (15) \end{aligned}$$

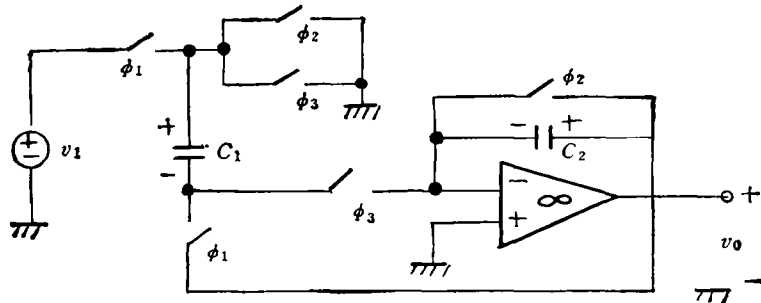
$$\begin{aligned} \Delta_1 = & \frac{1}{C_4}\left(\frac{1}{C_1} + \frac{1}{C_2}\right)\left(\frac{1}{C_2} + \frac{1}{C_3}\right)\left(\frac{1}{C_3} + \frac{1}{C_4}\right) - \left[\frac{1}{C_1^2 C_4}\left(\frac{1}{C_3} + \frac{1}{C_4}\right)\right. \\ & + \frac{1}{C_3^2 C_4}\left(\frac{1}{C_1} + \frac{1}{C_2}\right) + \frac{1}{C_2^2}\left(\frac{1}{C_1} + \frac{1}{C_2}\right)\left(\frac{1}{C_2} + \frac{1}{C_3}\right)\left.\right] Z^{-1} \\ & + \left(\frac{1}{C_3^2 C_4^2} - \frac{1}{C_1 C_2 C_3 C_4}\right) Z^{-2}, \quad (16) \end{aligned}$$

$$\begin{aligned} \Delta_2 = & \frac{1}{C_4}\left(\frac{1}{C_1} + \frac{1}{C_2}\right)\left(\frac{1}{C_2} + \frac{1}{C_3}\right)\left(\frac{1}{C_3} + \frac{1}{C_4}\right) - \frac{1}{C_1^2}\left(\frac{1}{C_1} + \frac{1}{C_2}\right)\left(\frac{1}{C_2} + \frac{1}{C_3}\right) \\ & - \left[\frac{1}{C_2^2 C_4}\left(\frac{1}{C_3} + \frac{1}{C_4}\right) + \frac{1}{C_3^2 C_4}\left(\frac{1}{C_1} + \frac{1}{C_2}\right) + \frac{1}{C_1 C_2 C_3 C_4} - \frac{1}{C_2^2 C_4^2}\right] Z^{-1}. \quad (17) \end{aligned}$$

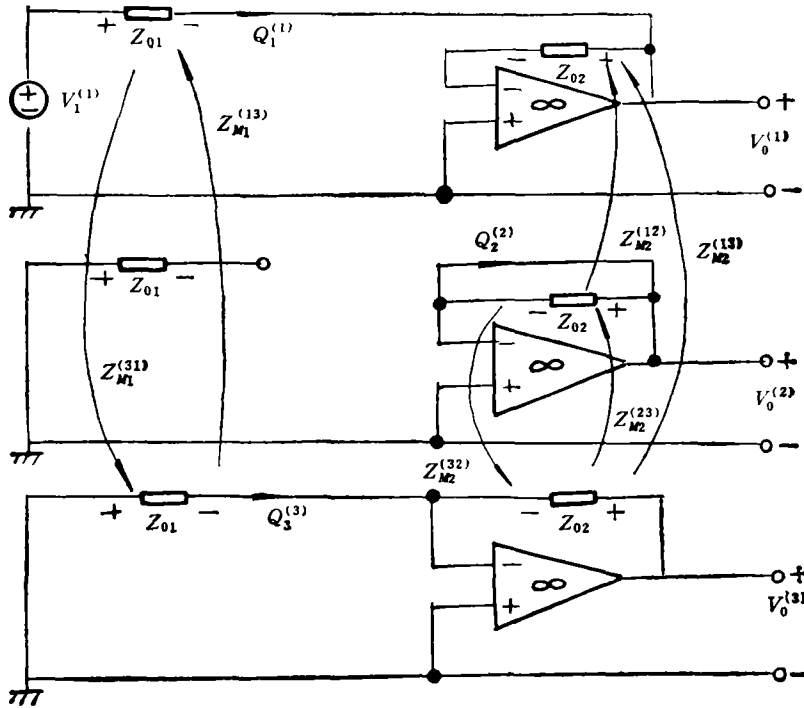
例 2 图 4(a) 是一三相有源 SCN, 求其电压传递函数。

解 (1) 在有源 SCN 中标出电容电压的极性, 画出其 Z 域分相电荷耦合等效模型, 如图 4(b)。

(2) 在图 4(b) 中标出回路电荷的参考方向, 列出回路电荷方程和输出电压方程:



(a)



(b)

图 4 三相有源 SCN 及其 Z 域等效模型

$$\left. \begin{aligned} Z_{01}Q_1^{(1)} + Z_{M2}^{(12)}Q_1^{(2)} + (Z_{M1}^{(13)} - Z_{M2}^{(13)})Q_3^{(3)} &= V_1^{(1)}, \\ Z_{02}Q_1^{(2)} - Z_{M2}^{(23)}Q_3^{(3)} &= 0, \\ Z_{M1}^{(31)}Q_1^{(1)} + Z_{01}Q_3^{(3)} &= 0; \end{aligned} \right\} \quad (18)$$

$$\left. \begin{aligned} V_0^{(1)} &= Z_{M2}^{(12)}Q_1^{(2)} - Z_{M2}^{(13)}Q_3^{(3)}, \\ V_0^{(2)} &= 0, \\ V_0^{(3)} &= Z_{M2}^{(32)}Q_1^{(2)} - Z_{02}Q_3^{(3)}. \end{aligned} \right\} \quad (19)$$

(3) 按(18)和(19)式,作出图 4(b) 的梅森流图,如图 5。

(4) 由梅森公式,从图 5 中计算出电压传递函数:

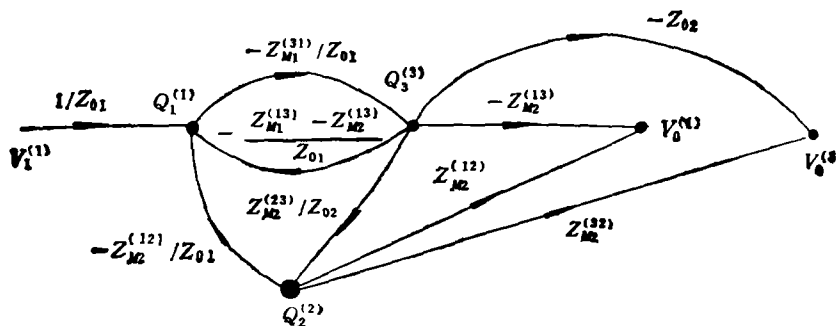


图5 图4(b)的梅森流图

$$H^{(1)} = V_0^{(1)}/V_1^{(1)} = \frac{(1 - Z^{-1})Z^{-1}/C_2}{1/C_1 - (1/C_1 - 1/C_2)Z^{-1} - (1/C_2)Z^{-2}}, \quad (20)$$

$$H^{(2)} = V_0^{(2)}/V_1^{(1)} = 0, \quad (21)$$

$$H^{(3)} = V_0^{(3)}/V_1^{(1)} = \frac{(1 - Z^{-1})/C_2}{1/C_1 - (1/C_1 - 1/C_2)Z^{-1} - (1/C_2)Z^{-2}}. \quad (22)$$

4 结论

由上面两个示例看出, SCN 在各相时钟脉冲控制期间, 有电荷流动的回路是较少的, 故回路电荷变量较少, 梅森流图简单易作, 这是 SCN Z 域回路电荷分析法的最大优点。

参 考 文 献

- [1] Laker K R, Bell Syst. Tech. J. 1979, 58(3):727-767.
- [2] Vandewalle J, DeMan H, Rabacy J. IEEE Trans. on CAS, 1981, CAS-28(3):186-195.
- [3] Hokenek E, Moschylz G S. Proc. IEE, 1980, 127(1):226-241.
- [4] Bruton L T, Bailey G R, Bhattacharjee G. Loop equation formulation for switched-capacitor networks containing nullors. Proc. IEEE Int. Symp. on Circuit and Systems, Rome, Italy: May 1981, 29-32.

A LOOP CHARGE METHOD FOR THE Z-DOMAIN ANALYSIS OF SWITCHED-CAPACITOR NETWORKS

Liu Changlin

(Northeast Institute of Heavy Machinery, Qiqihar 161042)

Abstract A derivation of the Z-domain charge coupled model is given for a general switched-capacitor branch. A new loop charge method for the Z-domain analysis of multiphase switched-capacitor networks is presented.

Key words Switched-capacitor network, Charge couple, Loop charge method, Z-transform, Mason flow graph